

ТЕОРЕТИЧЕСКОЕ ОБОСНОВАНИЕ ТЕПЛОВОГО МЕТОДА НЕРАЗРУШАЮЩЕГО КОНТРОЛЯ ДВУХСЛОЙНЫХ ИЗДЕЛИЙ

И.В. Рогов, Н.П. Жуков, Н.Ф. Майникова, Н.В. Лунева

ГОУ ВПО «Тамбовский государственный технический университет», г. Тамбов

Ключевые слова и фразы: математическая модель; многослойное изделие; неразрушающий контроль; теплофизические свойства; тепловая активность; теплопроводность.

Аннотация: Разработана математическая модель теплопереноса при неразрушающем контроле теплофизических свойств двухслойных изделий. Метод контроля предусматривает тепловое воздействие на поверхность исследуемого тела от локального нагревателя постоянной мощности, фиксирование температурных откликов в заданных точках поверхности исследуемого тела, обработку термограмм по разработанному алгоритму.

При решении задач оперативного теплового контроля изделий определенный интерес представляют неразрушающие методы с использованием круглого плоского источника тепла, расположенного на поверхности полуограниченного в тепловом отношении объекта [1]. Исследования в этой области на сегодняшний день остаются актуальными. Это определяется прежде всего тем, что теплофизические свойства (ТФС) материалов изделий находят на основании косвенных экспериментов и рассчитывают по определенным математическим моделям.

В результате точность и надежность определения ТФС во многом обуславливается тем, насколько адекватно математическая модель описывает тепловые процессы в объекте исследования, происходящие при измерении.

В данной работе представлена математическая модель теплопереноса при неразрушающем контроле двухслойных изделий.

Согласно измерительной схеме тепловой системы (рис. 1), воздействие на исследуемое тело, имеющее равномерное начальное температурное распределение, осуществляется с помощью нагревателя постоянной мощности, выполненного в виде тонкого диска радиусом R , встроенного в подложку измерительного зонда (ИЗ). Исследуемое тело представляет собой конструкцию, состоящую из двух слоев (например, двухслойная пластина). Подложка ИЗ выполнена из рипора – хорошего теплоизолятора. Радиус подложки ИЗ – r_1 . Толщина первого слоя – h_1 , второго – h_2 . Длина и ширина тела: L_1 и L_2 . Температура в точке контроля измеряется с помощью термопары (ТП).

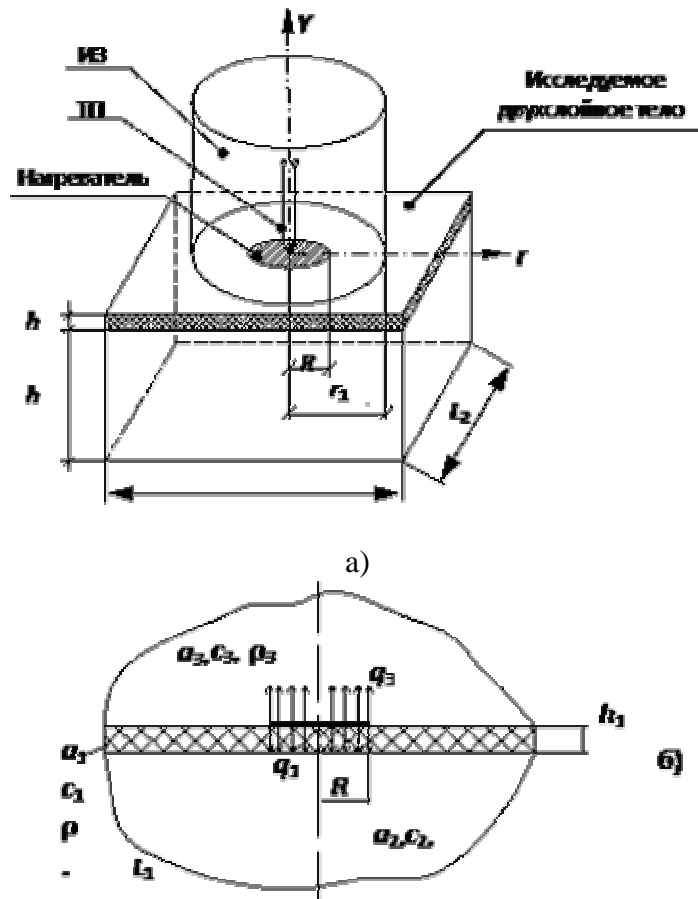


Рис. 1. Измерительная (а) и тепловая (б) схемы

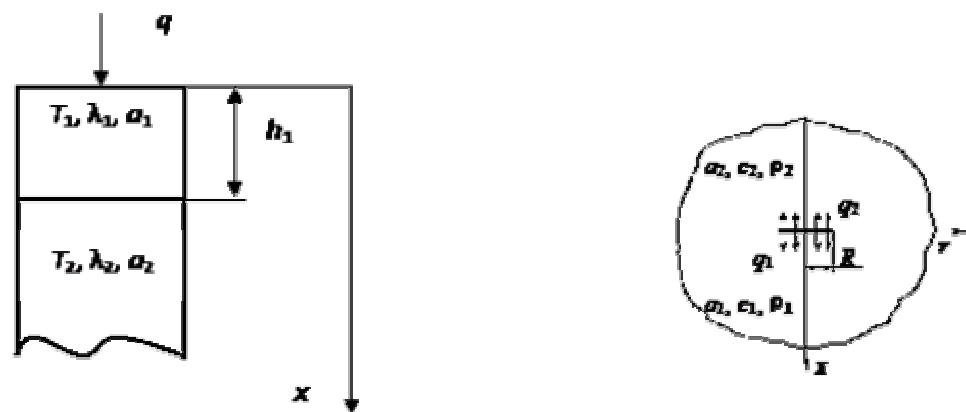


Рис. 2. Система, состоящая из ограниченного и полуограниченного тел

Рассмотрим систему, состоящую из ограниченного и полуограниченного тел при граничных условиях второго рода (рис. 2).

Ограниченный стержень (неограниченная пластина) толщиной h_1 приведен в соприкосновение с полуограниченным стержнем (полуограниченным телом), имеющим другие термические коэффициенты. Боковые поверхности стержней имеют тепловую изоляцию. В начальный момент времени на свободном конце стержня (пластины) начинает действовать источник тепла постоянной мощности q , который действует на протяжении всего процесса нагрева. Требуется найти распределение температуры по длине стержней (по глубине пластины и тела) в любой момент времени.

$$\frac{\partial T_1}{\partial \tau} = \alpha_1 \frac{\partial^2 T_1}{\partial x^2}, \quad \tau > 0, 0 < x < h_1; \quad (1)$$

$$\frac{\partial T_2}{\partial \tau} = \alpha_2 \frac{\partial^2 T_2}{\partial x^2}, \quad \tau > 0, h_1 < x < m; \quad (2)$$

$$T_1(x, 0) = T_2(x, 0) = 0; \quad (3)$$

$$T_1(h_1, \tau) = T_2(h_1, \tau); \quad (4)$$

$$\lambda_1 \frac{\partial T_1(h_1, \tau)}{\partial x} = \lambda_2 \frac{\partial T_2(h_1, \tau)}{\partial x}; \quad (5)$$

$$-\lambda_1 \frac{\partial T_1(0, \tau)}{\partial x} = q; \quad (6)$$

$$T_2(m, \tau) = 0. \quad (7)$$

Решения уравнений (1) и (2) при условиях (3) для изображений функций $T_1(x, \tau)$ и $T_2(x, \tau)$ будут иметь вид:

$$T_{L1}(x, s) = A \exp\left[\sqrt{\frac{s}{\alpha_1}} x\right] + B \exp\left[-\sqrt{\frac{s}{\alpha_1}} x\right]; \quad (8)$$

$$T_{L2}(x, s) = C \exp\left[-\sqrt{\frac{s}{\alpha_2}} x\right]. \quad (9)$$

Постоянные A , B , и C находим из граничных условий (4), (5) и (6). С учетом (8) и (9):

$$A \exp\left[\sqrt{\frac{s}{\alpha_1}} h_1\right] + B \exp\left[-\sqrt{\frac{s}{\alpha_1}} h_1\right] = C \exp\left[-\sqrt{\frac{s}{\alpha_2}} h_1\right]; \quad (10)$$

$$A \frac{\lambda_1}{\sqrt{\alpha_1}} \exp\left[\sqrt{\frac{s}{\alpha_1}} h_1\right] - B \frac{\lambda_1}{\sqrt{\alpha_1}} \exp\left[-\sqrt{\frac{s}{\alpha_1}} h_1\right] = -C \frac{\lambda_2}{\sqrt{\alpha_2}} \exp\left[-\sqrt{\frac{s}{\alpha_2}} h_1\right]; \quad (11)$$

$$B - A = \frac{q \sqrt{\alpha_1}}{s^{3/2} \lambda_1}. \quad (12)$$

С учетом того, что $\varepsilon = \frac{\lambda}{\sqrt{\alpha}}$, перепишем (11) и (12) в виде:

$$A \varepsilon_1 \exp\left[\sqrt{\frac{s}{\alpha_1}} h_1\right] - B \varepsilon_1 \exp\left[-\sqrt{\frac{s}{\alpha_1}} h_1\right] = -C \varepsilon_2 \exp\left[-\sqrt{\frac{s}{\alpha_2}} h_1\right]; \quad (13)$$

$$B - A = \frac{q}{s^{3/2} \varepsilon_1}. \quad (14)$$

Решая уравнения (10), (13) и (14) относительно A , B и C получим:

$$A = \frac{q(\varepsilon_1 - \varepsilon_2) \exp\left(-\sqrt{\frac{s}{a_1}} h_1\right)}{\varepsilon_1 s^{3/2} \left[(\varepsilon_1 + \varepsilon_2) \exp\left(\sqrt{\frac{s}{a_1}} h_1\right) - (\varepsilon_1 - \varepsilon_2) \exp\left(-\sqrt{\frac{s}{a_1}} h_1\right) \right]}; \quad (15)$$

$$B = \frac{q(\varepsilon_1 + \varepsilon_2) \exp\left(\sqrt{\frac{s}{a_1}} h_1\right)}{\varepsilon_1 s^{3/2} \left[(\varepsilon_1 + \varepsilon_2) \exp\left(\sqrt{\frac{s}{a_1}} h_1\right) - (\varepsilon_1 - \varepsilon_2) \exp\left(-\sqrt{\frac{s}{a_1}} h_1\right) \right]}; \quad (16)$$

$$C = \frac{2q \exp\left(\sqrt{\frac{s}{a_2}}\right)}{s^{3/2} \left[(\varepsilon_1 + \varepsilon_2) \exp\left(\sqrt{\frac{s}{a_1}} h_1\right) - (\varepsilon_1 - \varepsilon_2) \exp\left(-\sqrt{\frac{s}{a_1}} h_1\right) \right]}. \quad (17)$$

Введем обозначения: $K_\varepsilon = \frac{\varepsilon_1}{\varepsilon_2}$; $k^* = \frac{1 - K_\varepsilon}{1 + K_\varepsilon} = \frac{\varepsilon_1 - \varepsilon_2}{\varepsilon_1 + \varepsilon_2}$.

Решение задачи в области изображений:

$$T_{L1}(x, s) = \frac{q \left[\exp\left(\sqrt{\frac{s}{a_1}} h_1\right) \exp\left(-\sqrt{\frac{s}{a_1}} x\right) + k^* \exp\left(-\sqrt{\frac{s}{a_1}} h_1\right) \exp\left(\sqrt{\frac{s}{a_1}} x\right) \right]}{\varepsilon_1 s^{3/2} \left[\exp\left(\sqrt{\frac{s}{a_1}} h_1\right) - k^* \exp\left(-\sqrt{\frac{s}{a_1}} h_1\right) \right]}; \quad (18)$$

$$T_{L2}(x, s) = \frac{2q \exp\left(\sqrt{\frac{s}{a_2}} h_1\right) \exp\left(-\sqrt{\frac{s}{a_2}} x\right)}{s^{3/2} (\varepsilon_1 + \varepsilon_2) \left[\exp\left(\sqrt{\frac{s}{a_1}} h_1\right) - k^* \exp\left(-\sqrt{\frac{s}{a_1}} h_1\right) \right]}. \quad (19)$$

После перехода от изображения к оригиналу запишем решение краевой задачи (1)–(7):

$$T_1(x, v) = \frac{q}{\varepsilon_1} \left[2\sqrt{\pi} \operatorname{ierfc} \left(\frac{x}{2\sqrt{\pi a_1}} \right) + 2\sqrt{\pi} \sum_{n=1}^{\infty} (k^*)^n \left(\operatorname{ierfc} \left(\frac{2n h_1 - x}{2\sqrt{\pi a_1}} \right) + \operatorname{ierfc} \left(\frac{2n h_1 + x}{2\sqrt{\pi a_1}} \right) \right) \right]; \quad (20)$$

$$T_2(x, v) = \frac{4q\sqrt{\pi}}{(\varepsilon_1 + \varepsilon_2)} \sum_{n=1}^{\infty} (k^*)^{n-1} \operatorname{ierfc} \left(\frac{(x - h_1) \sqrt{\frac{a_1}{a_2}} + (2n - 1) h_1}{2\sqrt{\pi a_1}} \right). \quad (21)$$

Введем следующие обозначения:

$$\Gamma_0 = \frac{a_1 \varepsilon}{(h_1)^2}, \quad \tilde{x} = \frac{x}{h_1}, \quad K_a = \frac{a_1}{a_2}, \quad \Theta = \frac{\Gamma h_1}{q h_1},$$

где F_0 – безразмерное время (число Фурье); \bar{x} – безразмерная координата; K_a – относительная теплопроводность тел; Θ – безразмерная температура.

Выражения (20) и (21) можно записать в безразмерном виде:

$$\Theta_1(\bar{x}, F_0) = 2\sqrt{F_0} \operatorname{erfc}\left(\frac{\bar{x}}{2\sqrt{F_0}}\right) + 2\sqrt{F_0} \sum_{n=1}^{\infty} (k^*)^n \left(\operatorname{erfc}\left(\frac{(2n-\bar{x})}{2\sqrt{F_0}}\right) + \operatorname{erfc}\left(\frac{(2n+\bar{x})}{2\sqrt{F_0}}\right) \right), \quad (22)$$

$$\Theta_2(\bar{x}, F_0) = \frac{4\sqrt{F_0} K_a}{(1+K_a)} \sum_{n=1}^{\infty} (k^*)^{n-1} \operatorname{erfc}\left(\frac{((\bar{x}-1)\sqrt{K_a} + (2n-1))}{2\sqrt{F_0}}\right). \quad (23)$$

Ряды в решениях (20), (21) и (22), (23) хорошо сходятся при малых значениях времени (Фурье).

При $\bar{x} = 0$ формула (22) имеет вид:

$$\Theta_1(0, F_0) = 2\sqrt{F_0} \left(\frac{1}{\bar{x}} + \left(\sum_{n=1}^{\infty} \left(2(k^*)^n \operatorname{erfc}\left(1, \frac{n}{\sqrt{F_0}}\right) \right) \right) \right). \quad (24)$$

При больших Фурье формула (24) имеет вид:

$$\Theta_1(0, F_0) = \frac{2}{\sqrt{x}} \left(1 - \frac{2k^*}{k^* - 1} \right) \sqrt{F_0} - \frac{4k^*}{(k^* - 1)^2}. \quad (25)$$

Перейдем от безразмерных величин к размерным. После ряда преобразований и упрощений при больших τ имеем:

$$T(0, \tau) = \frac{2q}{\sqrt{x}} \frac{\sqrt{\tau}}{\varepsilon_2} + \left(1 - \frac{\varepsilon_1^2}{\varepsilon_2^2} \right) \frac{q h_1}{\lambda_1}. \quad (26)$$

Таким образом, мы получаем линейную зависимость вида:

$$T(0, \tau) = b_1 \sqrt{\tau} + b_0, \quad (27)$$

где $b_1 = \frac{2q}{\sqrt{x \varepsilon_2}}$, (28)

тогда $\varepsilon_2 = \frac{2q}{\sqrt{x b_1}}$. (29)

Рассмотрим частные случаи.

Случай 1. Первый слой изделия (рис. 1) высокотеплопроводный, а второй – низкотеплопроводный, т.е. $\lambda_1 \gg \lambda_2$, тогда $\varepsilon_1 \gg \varepsilon_2$. Следовательно,

$$b_0 = \left(1 - \frac{\varepsilon_1^2}{\varepsilon_2^2} \right) \frac{q \cdot h_1}{\lambda_1} = \left(\frac{\varepsilon_2^2 - \varepsilon_1^2}{\varepsilon_2^2} \right) \frac{q \cdot h_1}{\lambda_1} \approx - \frac{\varepsilon_1^2}{\varepsilon_2^2} \frac{q \cdot h_1}{\lambda_1} = - \frac{q \cdot \varepsilon_1 \cdot \rho_1 \cdot h_1}{\varepsilon_2^2}. \quad (30)$$

Определяем:

$$\epsilon_1 \cdot \rho_1 \cdot h_1 = -\frac{\Delta_0 \epsilon_2^2}{q} \quad (31)$$

Следовательно, если нам известны ϵ_1 и ρ_1 , то из выражения (31) мы можем определить h_1 . При заданном значении h_1 можем определить произведение $\epsilon_1 \rho_1$.

Случай 2. Первый слой изделия (рис. 1) низкотеплопроводный, а второй – высокотеплопроводный, т.е. $\lambda_1 \ll \lambda_2$, тогда $\epsilon_1 \ll \epsilon_2$. Следовательно,

$$\Delta_0 = \left(1 - \frac{\epsilon_1^2}{\epsilon_2^2}\right) \cdot \frac{q \cdot h_1}{\lambda_1} \approx \frac{q \cdot h_1}{\lambda_1} \quad (32)$$

Определяем:

$$\frac{\lambda_1}{h_1} = \frac{q}{\Delta_0} \quad (33)$$

Из выражения (33), зная λ_1 , можно определить h_1 . Если задано h_1 , можно определить λ_1 .

Список литературы

1. Жуков, Н.П. Многомодельные методы и средства неразрушающего контроля теплофизических свойств твердых материалов и изделий. / Н.П. Жуков, Н.Ф. Майникова // Монография. – М. : Машиностроение – 1, 2004. – 288 с.
2. Лыков, А.В. Теория теплопроводности / А.В. Лыков. – М. : Высшая школа, 1967. – 599 с.
3. Карслоу, Г. Теплопроводность твердых тел / Г. Карслоу, Д. Егер. – М. : Наука, 1964. – 487 с.